

## تأثیر آلدگی به واریانت ملایم ویروئید غده دوکی سیب زمینی بر پروفیل متابولیکی رقم راتگرز گوجه‌فرنگی\*

### EFFECT OF INFECTION BY MILD VARIANT OF POTATO SPINDLE TUBER VIROID ON METABOLIC PROFILES OF TOMATO CULTIVAR 'RUGERS'

سید علی‌اکبر باقریان<sup>۱</sup>، کرامت‌الله ایزدپناه<sup>۱</sup>، حبیب‌الله حمزه زرقانی<sup>۱\*\*\*</sup>، محمد جواهری<sup>۱</sup>  
و یونس قاسمی<sup>۲</sup>

(تاریخ دریافت: ۱۳۹۲/۱۰/۱؛ تاریخ پذیرش: ۱۳۹۲/۱۲/۷)

#### چکیده

ویروئیدها به عنوان کوچک‌ترین عوامل بیمارگر گیاهی متشکل از آر آن ۱ حلقوی تک لا بوده و بدون داشتن ژنوم رمزگذار، قادرند در میزان گیاهی خود تکثیر شوند. به رغم مطالعات زیاد، هنوز تصویر روشنی از سازوکار بیماری‌زایی ویروئیدها به دست نیامده است. در مطالعه حاضر، پروفیل متابولیکی گوجه‌فرنگی رقم راتگرز آلدگی به واریانت ملایم ویروئید غده دوکی سیب‌زمینی (PSTVd) مشخص و با گیاه مایه‌زنی شده با بافر مقایسه شده است. بدین منظور سه برگ‌چه انتهایی برگ سوم گیاهان گوجه‌فرنگی به صورت مکانیکی با سی دی آن آی ویروئید غده دوکی سیب‌زمینی مایه‌زنی شد و ۱۹ روز بعد، نمونه‌برداری از برگ هشتم این گیاهان به انجام رسید. متابولیت‌ها استخراج و به کمک دستگاه GC/MS شناسایی و اندازه‌گیری شده و مورد تجزیه و تحلیل آماری قرار گرفتند. نتایج نشان دادند که در سطح آماری P < 0.2، تعداد ۴۰ متابولیت نسبت به شاهد خود تغییرات معنی‌داری نشان دادند که نتیجه تغییرات در چهارده مسیر متابولیکی در سلول‌های گیاه بود. مسیرهای تولید ترکیبات دفاعی، سه مسیر ساخت هورمون، یک مسیر تولید انرژی و یک مسیر تخریب کلروفیل. با توجه به پیچیدگی پاسخ‌های گیاه به آلدگی به ویروئید، با استفاده از رویکرد متابولومیکس، برهمنکش ویروئید-میزان بررسی و تغییرات در سطح مسیرهای بیوشیمیایی گیاه مورد بحث قرار گرفته است.

واژه‌های کلیدی: ویروئید غده دوکی سیب‌زمینی، کروماتوگرافی گازی- طیف‌سنجدی جرمی، تعیین پروفیل متابولیک، برهمنکش ویروئید-گیاه

\*: بخشی از پایان‌نامه دکتری نگارنده اول، ارایه شده به دانشکده کشاورزی، دانشگاه شیراز

\*: مسئول مکاتبات، پست الکترونیکی: [zarghani@shirazu.ac.ir](mailto:zarghani@shirazu.ac.ir)

۱. به ترتیب دانشجوی سابق دکتری، استاد و استادیاران بیماری‌شناسی گیاهی، دانشکده کشاورزی، دانشگاه شیراز  
۲. استاد بیوتکنولوژی دارویی، دانشکده داروسازی، دانشگاه علوم پزشکی، شیراز

## مقدمه

تیپ تیره *Pospiviroidae*, اولین ویروئیدی بود که کشف شد (Diener 1971). حتی پیش از آن که توالی کامل نوکلئوتیدی PSTVd مشخص شود (Gross *et al.* 1978), مطالعات انگشت‌نگاری آر ان ا نشان دادند که وجود کمترین تفاوت نوکلئوتیدی بین جدایه‌های مختلف این ویروئید باعث تغییر در شدت علائم تولیدی در ارقام حساس گوجه‌فرنگی می‌گردد (Dickson *et al.* 1979). در ادامه تحقیقات وسیعی از طریق تعیین توالی و ایجاد جهش Sano *et al.* 1992, Schnolzer *et al.* 1985, Qi & Ding 2003, Zhong *et al.* 2008 در ژنوم ویروئیدها انجام شد (Qi & Ding 2003) و مشخص شد که بیماری زایی در PSTVd توسط چندین منطقه خاص از ژنوم ویروئید (مثل لوپ E (Zhong *et al.* 2006)) کنترل می‌شود که برخی از آنها در خارج از دامنه از پیش معرفی شده بیماری زایی (P) (Keese & Symons 1985) قرار دارند. روش (های) القای بیماری توسط این عوامل هنوز روشن نشده است ولی همانندسازی ویروئید در گوجه‌فرنگی یکی از سیستم‌های آزمایشگاهی پر استفاده جهت مطاله بیماری زایی ویروئیدها محسوب می‌شود.

کی و دینگ در سال ۲۰۰۳ (Qi & Ding 2003) همبستگی مثبتی بین کوتولگی گیاه آلووده به PSTVd و کاهش بیان *LeExp2* (ژنی که با تولید یک پروتئین خاص، رشد سلول‌های جوان را از طریق نرم کردن دیواره‌های سلولی، تسهیل می‌کند) مشاهده نمودند. شاید مهم‌ترین تغییرات درون سیتوپلاسمی ناشی از آلوودگی‌های ویروئیدی، اختلال در ساختار کلروپلاست و به ویژه غشاهای تیلاکوئید و تخریب گرانا باشد (Rodio *et al.* 2007).

ویروئیدها کوچک‌ترین عوامل بیمارگر گیاهی‌اند که تا کنون شناخته شده‌اند و با وجود فقدان چارچوب خوانش (ORF) در ژنومشان قادر به تغییر بیان ژن‌های میزبان از طریق ابزاری غیر از پروتئین‌های رمزگذاری شده هستند (Ding & Qi 2003). تغییرات مورفولوژیکی و سیتوولوژیکی مرتبط با آلوودگی ویروئیدی به خوبی مطالعه شده‌اند. در سطح سلولی، تغییر دیواره‌های سلولی و تخریب غشای سیتوپلاسمی از علائم بارز ایجاد شده توسط این بیمارگرهاست (Itaya *et al.* 2002, Tessitori *et al.* 2007). آلوودگی ویروئیدی در سطح سلولی با تغییراتی در ساختمان دیواره‌های سلولی، کلروپلاست‌ها و سازه‌های غشادر در سیتوپلاسم (Plasmalemmosome) و تجمع نقاط پر چگال همراه است (Diener 1987). چگونگی ایجاد این پاسخ‌های قوی میزبان به این عوامل کوچک فاقد پروتئین، توسط محققین بسیاری جستجو شده است. چندین مطالعه مروری جدید، بیولوژی مولکولی برهمکنش دینگ 2009, Flores *et al.* 2005, Gomez *et al.* 2009 ویروئید/میزبان را بررسی کرده‌اند (Gomez *et al.* 2009).

طبقه‌بندی اخیر (ICTV International Committee on Taxonomy of Viruses ۲۱)، گونه شناسایی شده ویروئیدها را در دو تیره *Pospiviroidae* که اعضای آن دارای پنج دامانه عملکردی/اساختاری حفاظت شده هستند و در هسته همانندسازی می‌کنند و تیره *Avsunviroidae* که اعضای آن فعالیت ریبوزیمی (Ribozyme activity) داشته و در کلروپلاست همانندسازی می‌کنند، قرار داده است. ویروئید غده دوکی سیب‌زمینی (PSTVd) عضو

به آلودگی (مايه زنی به صورت مکانیکی، ده روز پس از کاشت) به CEVd که برهمکنشی فاقد نکروز است، تحریک می‌گردد. تولید این متابولیت یک روز پس از ظهور علائم (علائم ده روز پس از مایه‌زنی مشاهده شده است) در این گیاهان قابل ردیابی است و پنج روز پس از ظهور علائم به حداقل مقدار خود می‌رسد، در حالی که در آلودگی خیار و گوجه‌فرنگی به *Pseudomonas syringae* pv. *syringae* که برهمکنشی همراه با نکروز است، تولید gentisic acid تحریک نمی‌شود. بر این اساس پیشنهاد شده که احتمالاً acid یک پیام دفاعی تحریک شده توسط CEVd است (Belles et al. 2006, Fayos et al. 2006) که تحریک تولید این پیام پس از ایجاد علائم صورت می‌گیرد، پیشنهاد این پیام به عنوان پیام حساسیت، منطقی به نظر نمی‌رسد (Baker et al. 2010). علاوه بر این لوبز-گرسا و همکاران در سال ۲۰۰۹ با بررسی متابولیت‌های ثانویه تولید شده توسط گیاهان گوجه‌فرنگی آلوده به CEVd (در هفته‌های دوم و چهارم پس از مایه‌زنی) با استفاده از روش طیفسنج رزونانس مغناطیسی هسته‌ای (NMR) نشان دادند که تولید مقادیر کمی از متابولیت‌های اولیه مثل گلوکز و مالیک اسید (malic acid) توسط این آلودگی تحریک می‌گردد (López-Gresa et al. 2010). بیکر و همکاران در سال ۲۰۱۰ تغییرات متابولیت‌های فنولی آپوپلاست برگ‌های مختلف (برگ‌های شماره ۳، ۵، ۷، ۹ و ۱۱) گوجه‌فرنگی که در مرحله ۳-۴ برگی به صورت مکانیکی با نسخه‌های آر آن ای مربوط به ژنوم کامل PSTVd، مایه‌زنی شده بودند را با استفاده از روش HPLC-UV performance liquid chromatography with UV detection (در هفته‌های ۲، ۳، ۴ و ۵ پس از مایه‌زنی)

در یکی از جدیدترین مطالعات انجام شده، محققین با تلفیق فن‌آوری ریزآرایه و تعیین توالی وسیع آر آن نشان دادند که بیان بیش از نیمی از ده هزار ژن مطالعه شده در رقم حساس راتگرز در اثر آلودگی به جدایه‌ای از PSTVd تغییر می‌کند و در این میان کاهش بیوژنز کلروپلاست و تغییرات ملموس در پیامدهای هورمون‌های مختلف و به ویژه اسید جیبرلیک در گیاهان حساس و متاحمل گوجه‌فرنگی، مشخص و قابل تفکیک بوده است (Owens et al. 2012).

متabolomics (Metabolomics) به آنالیز جامع همه متابولیت‌های موجود در یک بافت یا سلول گفته می‌شود (Sumner et al. 2003) و این امکان را فراهم می‌آورد که تعداد زیادی از متابولیت‌ها به سرعت و به دقت قابل شناسایی و اندازه‌گیری باشند و از این طریق اطلاعات مهمی از برهمکنش میزان/بیمارگ فراهم آید (López-Gresa et al. 2012). تا کنون در میان ویروئیدها، مطالعه دینامیک متابولیت‌های ثانویه، تنها در مورد گیاهان آلوده به ویروئید اگزوکورتیس مرکبات (CEVd) و PSTVd (هر دو از تیره *Pospiroideae*) به انجام رسیده است. بررسی اسانس (Essential oil) برگ‌های پنج تا هفت ماهه و پوست میوه‌های سه ماهه مرکبات ۱۲ ساله آلوده به CEVd به کمک کروماتوگرافی گازی - طیف سنج جرمی (GC/MS) نشان داد که آلودگی به CEVd، میزان این ترکیبات را در برگ کاهش می‌دهد و نوع این ترکیبات را در پوست میوه نسبت به برگ به صورت معنی‌داری دستخوش تغییر می‌کند (Vekiari et al. 2002).

بلز و همکاران (Belles et al. 1999) نیز گزارش کردند که در خیار و گوجه‌فرنگی، تولید (2,5-dihydroxybenzoic acid) gentisic acid

این هدف، بایستی انجام پذیرد. بررسی عمومی پروفیل متابولیت‌ها با استفاده از آنالیزهای مبتنی بر GC/MS به عنوان یکی از قوی‌ترین روش‌های تشخیص مکانیسم‌های متابولیکی (از جمله بیماری‌زایی)، شناخته می‌شود (Tang *et al.* 2009). از آنجا که سیستم گوجه فرنگی - PSTVd یکی از بهترین سیستم‌های بررسی بیماری‌های ویروئیدی است، در این مطالعه پروفیل متابولیکی حاصل از برهمکنش واریانت ملایم PSTVd و رقم حساس راتگرز، گوجه فرنگی به کمک دستگاه GC/MS، مورد کنکاش قرار گرفته است تا قدمی هر چند کوچک در راه روش‌شنتر شدن مکانیسم بیماری‌زایی ویروئیدها و مسیرهای درگیر در زمان وقوع آلوودگی برداشته شود.

## مواد و روش‌ها

### ساخت همسانه عفونت‌زایی ویروئید

شواهد حاکی از آن است که نسخه‌های تک پار (مونومر) ژنوم ویروئید بدون داشتن هیچ پیشبری، قادر به تکثیر در گیاه میزبان می‌باشند (Candresse *et al.* 1990) PSTVd دی‌آن‌ای تک پار واریانت ملایم (رس شمار: M93685) توسط شرکت بیومتیک (Biomatik Corp., Cambridge, Ont., Canada) ساخته شده و در داخل تنها سایت برشی آنزیم *SmaI* در پلاسمید *pUC19* قرار گرفته است. میکروتیوب حاوی پلاسمید نوترکیب دریافت شده از شرکت بیوتیک، سانتریفوژ و محتویات آن در آب فاقد نوکلئاز به حالت تعليق در آورده شد (غلظت نهايی: ۱۰  $\mu\text{g}/\text{ml}$ ). از آنجا که سی دی‌آن‌ای خطی تهیه شده از PSTVd توانایی آلووده‌کنندگی دارد (Gora *et al.* 1994)، قطعات کامل ژنوم ویروئید از روی الگوی ارسال شده توسط شرکت بیومتیک به روش گرا و

بررسی نموده و مشخص کردند که متابولیت‌های موجود در برگ‌های از گیاه آلووده که ویروئید در آنها وجود دارد و تکثیر می‌شود، تغییر می‌کند. علاوه بر این نشان داده شد که بیشتر ترکیبات فنولی آپوپلاست برگ‌های مذکور کاهش می‌یابد، هرچند که مقدار برخی از این ترکیبات زیاد می‌شود. بیکر و همکاران نشان دادند که تغییر ترکیب متابولیت‌های آپوپلاست، به زمان و مراحل رشدی برگ واپسی است (Baker *et al.* 2010).

روش تجزیه‌ای GC/MS تاریخچه‌ای طولانی در آنالیزهای هدفمند و یا عمومی متابولیت‌های موجودات مختلف دارد (Oursel *et al.* 2007, Lee *et al.* 2007, Wu *et al.* 2009). البته از آنجا که GC/MS فقط برای آنالیز ترکیبات با قابلیت فرآریت مناسب است، انجام عملیات مشتق‌سازی (Derivatization) پیش از تزریق نمونه به منظور فرآریت متابولیت‌های مقاوم‌تر به حرارت، در نمونه‌های گیاهی لازم می‌باشد (Qiu *et al.* 2007, Duan *et al.* 2009, Peris-Vicente *et al.* 2006, Gao *et al.* 2009).

گزارش‌های معدودی در خصوص تغییرات متابولیکی برهمکنش ویروس و یا ویروئید/گیاه به چاپ رسیده‌اند و تنها دو مطالعه جامع در مورد پروفیل متابولیکی توتون و گوجه فرنگی آلووده به ویروس موزائیک توتون (TMV) (López-Gresa *et al.* 2012 و Choi *et al.* 2006) وجود دارد و هنوز هیچ مطالعه‌ای در مورد پروفیل متابولیکی گیاهان آلووده به ویروئیدها ارائه نشده است.

با وجود مطالعات گسترده، هنوز مکانیسم (های) بیماری‌زایی ویروئیدها ناشناخته مانده است. واضح است که آلوودگی گیاه به ویروئید مجموعه‌ای پیچیده از واکنش‌های میزبان را تحریک می‌کند و مطالعات بیشتری از طریق روش‌های بهبود یافته و فرآگیرتر جهت نیل به

### مايهزنی مکانیکی بوته‌ها و نمونه‌برداری

پس از جوانه‌زنی و انتقال گیاهچه‌ها به گلدان‌های پلاستیکی یک و نیم کیلوگرمی و با رسیدن به مرحله ۳-۴ برگی (گیاهان بیست روزه)، ۲ میکروگرم از قطعات ویروئیدی استخراج شده از ژل در ۱۰ میکرولیتر بافر فسفات ۲۰ میلی‌مولار، pH ۷، حل و با استفاده از پودر کاربوراندوم و به صورت مکانیکی (Manzer & Merriam 1961) به برگچه انتهایی برگ حقیقی شماره ۳ گیاهان گوجه فرنگی ۲۰ روزه مایه‌زنی شد. چند دقیقه پس از مایه‌زنی، برگ مایه‌زنی شده با مقدار کمی آب مقطور شسته شد (Allam *et al.* 2005). گروهی از گیاهان شاهد با بافر نمونه، به روش فوق مایه‌زنی و مورد بررسی قرار گرفتند. نوزده روز پس از مایه‌زنی، برگ هشتم گیاهان شاهد و آلدوده گوجه فرنگی (بر اساس تحقیقی که توسط آونز و همکاران در سال ۲۰۱۲ و همچنین بیکر و همکاران در سال ۲۰۱۰ صورت گرفت (Baker *et al.* 2010 و Owens *et al.* 2012)، جهت استخراج متabolیت و آنالیز توسط دستگاه GC/MS نمونه‌برداری شد. برای کاهش واکنش‌های آنزیمی، برگ‌های برداشت شده، بلافاصله در نیتروژن مایع قرار گرفتند و توسط هاون، آسیاب و بلافاصله جهت استخراج متabolیت مورد استفاده قرار گرفتند. دو هفته پس از این نمونه‌برداری، مجدداً نمونه‌ای از همین گیاهان برداشته شد و جهت حصول اطمینان از تکثیر ویروئید در گیاهان آلدوده و عدم وجود ویروئید در گیاهان شاهد، عملیات استخراج آر. آن <sup>۱</sup>، ترانویسی معکوس، آزمون زنجیره‌ای پلیمراز و تعیین توالی به انجام رسید.

### استخراج متabolیت

همکاران (Gora *et al.* 1994) و با استفاده از آنزیم دی ان <sup>۱</sup> پلیمراز (Fermentas) *Pfu* اختصاصی P1 (GGGGATCCCTGAAGCGC) و P2 (GGGGAAACCTGGAGCGA)، تکثیر شد. محصول واکنش به وسیله الکتروفورز روی ژل آگاروز ۱/۵ درصد، در بافر TBE (۱۰/۸ گرم تریس، ۵/۵ گرم بوریک اسید و ۱/۷۳ گرم EDTA در ۱۰۰۰ میلی‌لیتر آب مقطور، pH ۸/۳) بررسی و با استفاده از (BIONEER) AccuPrep® Gel Purification Kit دستورالعمل شرکت سازنده تیمار و دی ان <sup>۱</sup> ویروئیدی از آن جدا شدو پس از تعیین غلظت به کمک دستگاه نانودرایپ، جهت مایه‌زنی مکانیکی برگچه انتهایی برگ سوم گیاهان گوجه‌فرنگی ۲۰ روزه مورد استفاده قرار گرفت.

### کشت و پرورش گیاهان

بذور گوجه‌فرنگی (*Solanum lycopersicum*) رقم راتگرز West Coast Seeds Ltd. از کانادا تهیه گردید. چند روز پس از جوانه‌زنی، گیاهچه‌ها به گلدان‌های پلاستیکی با قطر ۱۵ سانتی‌متر (یک و نیم کیلوگرمی) و حاوی مخلوطی از پیت، پرلیت و ورمیکولایت (۱:۱:۱) منتقل شدند. برای هر تیمار و هر شاهد سه بوته به عنوان تکرارهای بیولوژیکی در نظر گرفته شد و آزمایش به صورت طرح کاملاً تصادفی تنظیم گردید. همه گیاهان در اتفاق رشد با شرایط کنترل شده (۱۶ ساعت روشنایی ۳۵۰۰ لوکس (با دمای ۳۰ درجه سانتی‌گراد) و ۸ ساعت تاریکی (با دمای ۲۵ درجه سانتی‌گراد)) نگهداری شده و در فواصل ۷ روزه با ده میلی‌لیتر از محلول یک درصد کود (Plant Products Co. Ltd., Ontario, Canada) 20N-20P-20K تغذیه شدند.

از آنجا که عمل مشتق‌سازی مستقیم قندهائی مثل فروکتوز، به دلیل حلقوی شدن این قندها، باعث اختلال در تشخیص هگزووزها (hexoses) می‌شود، پس از خشک شدن یک میلی‌لیتر باقیمانده از بخش قطبی (توسط دستگاه تغليظ کننده)، عمل متوكسی آمین‌دار کردن (Methoximation) روی آن به انجام رسید. این ۲۰ عملیات با اضافه کردن ۵۰ میکرولیتر از محلول ۵۰ میلی‌گرم methoxamine hydrochloride در یک میلی‌لیتر pyridine در دمای ۳۰ درجه سانتی‌گراد و به مدت ۹۰ دقیقه (در داخل حمام آب گرم شیکردار) صورت پذیرفت (Roessner *et al.* 2000).

از آنجا که بیشتر متابولیت‌ها غیر فرار هستند، عمل مشتق‌سازی با اضافه کردن ۸۰ میکرولیتر-*N*-methyl-*N*-trimethylsilyl trifluoroacetamide (MSTFA) trimethylsilyltrifluoroacetamide ۳۷ درجه سانتی‌گراد و به مدت ۳۰ دقیقه (در داخل حمام آب گرم شیکردار، Fiehn *et al.* 2000) به انجام رسید. در پایان، ۰/۲ میکرولیتر از بخش قطبی با نسبت ۱:۱ در داخل دستگاه GC تزریق شد.

پس از خشک شدن ۷۰۰ میکرولیتر باقیمانده از بخش غیرقطبی توسط دستگاه تغليظ کننده، ۹۰۰ میکرولیتر کلروفرم و یک میلی‌لیتر متانول حاوی ۳% حجمی  $H_2SO_4$  به آن اضافه و به مدت ۴ ساعت در دمای ۱۰۰ درجه سانتی‌گراد در داخل حمام آب گرم شیکردار قرار داده شد. پس از این مرحله، چهار میلی‌لیتر آب مقطر به نمونه اضافه و به مدت ۳۰ ثانیه ورتكس و سپس در ۴۰۰۰ دور در دقیقه به مدت ۱۵ دقیقه، سانتریفوژ شد. فاز آبی حاصل حذف و عملیات شستشو ۲ مرتبه دیگر تکرار شد. فاز حاوی کلروفرم با کمک سولفات سدیم بی‌آب (Anhydrous sodium sulfate) خشک گردید و رونشین به لوله‌های شیشه‌ای منتقل و با استفاده از

نوزده روز پس از مایه‌زنی، برگ هشتم گیاهان گوجه‌فرنگی جهت استخراج متابولیت به روش فین و همکاران (Fiehn *et al.* 2000) با انجام تغییراتی، برداشت شد. بدین منظور  $30 \pm 30$  میلی‌گرم بافت یخ - خشک شده و یا  $30 \pm 30$  میلی‌گرم بافت گیاهی تازه (خرد شده در ازت مایع) در  $1/4$  میلی‌لیتر متانول  $100\%$  به مدت ۲۰ ثانیه ورتكس شد. اضافه کردن متانول، واکنش‌های آنزیمی و در نتیجه تغییرات احتمالی در متابولیت‌ها را پس از برداشت نمونه متوقف می‌کند. ۵۰ میکرولیتر محلول ریبیتول (ribitol) (به عنوان استاندارد داخلی فاز قطبی) با غلظت  $0/2$  میلی‌گرم در میلی‌لیتر آب، ۵۰ میکرولیتر nonadecanoic acid methyl ester (به عنوان استاندارد داخلی فاز غیرقطبی) با غلظت  $2$  میلی‌گرم در یک میلی‌لیتر  $CHCl_3$  و ۵۰ میکرولیتر آب دیونیزه شده  $(de-ionized)$  به مخلوط قبلی اضافه و pH بین ۵ و ۶ تنظیم شد. مخلوط به دست آمده در دمای ۷۰ درجه سانتی‌گراد به مدت ۱۵ دقیقه به هم خورد و در ۱۲۵۰۰ دور در دقیقه و به مدت ۲۰ دقیقه، سانتریفوژ و رونشین نگهداری و به رسوب  $0/75$  میلی‌لیتر کلروفرم اضافه و در دمای ۳۷ درجه سانتی‌گراد به مدت ۵ دقیقه به هم زده شد و در ۱۲۵۰۰ دور در دقیقه، به مدت ۲۰ دقیقه، سانتریفوژ شد و رسوب حذف گردید. رونشین‌های این سانتریفوژ کردن و سانتریفوژ کردن قبل، از میکروفیلتر  $22/22$  میکرونی (با کمک سانتریفوژ کردن در ۴۰۰۰ دور در دقیقه و به مدت ۲ دقیقه) عبور داده شد و پس از اضافه کردن  $1/4$  میلی‌لیتر آب مقطر و ورتكس کامل، در ۴۰۰۰ دور در ۲/۸ دقیقه و به مدت ۱۵ دقیقه، سانتریفوژ گردید. مقدار  $800$  میکرولیتر از رونشین (بخش قطبی) و  $800$  میکرولیتر از ته نشین (بخش غیرقطبی) برای انجام آنالیزهای بعدی مورد استفاده قرار گرفتند.

ابتدا به فرمت mzXML و یا mzML تبدیل و سپس به کمک برنامه MetAlign (Version 041012) به فرمت عمومی "net.cdf" در آمدند. انجام این تبدیل به خاطر سازگاری بیشتر داده‌ها با نرم افزارهای مورد استفاده در چنین مطالعاتی صورت پذیرفت. در اولین مرحله، اختلالات موجود در پس زمینه و تغییرات تدریجی اشتباه در کروماتوگرام‌ها توسط مجموعه نرم افزارهای موجود (Tikunov *et al.* 2005) (MetAlign) اصلاح شد (Hamzehzarghani *et al.* 2007).

خط پایه (baseline) نیز به کمک نرم افزار Masshunter Agilent (Qualitative Analysis (=MQA) Technologies, Inc. 2009, Version B.03.01 Build 3.1.346.0) تصحیح شد. پس از انجام این اصلاحات، مجدداً با کمک نرم افزار MZA نقاط اوج یا پیک مربوط به هر یک از ترکیبات از دیگر نقاط اوج، جدا شد و ترکیباتی که با هم از GC خارج شده بودند، از هم تفکیک و زمان نگهداری (Retention time) هر ترکیب و طیف NIST08.L جرمی آن برای تطبیق با پایگاه‌های اطلاعاتی Wiley275.L و یا Wiley به کار رفت. شبیه‌ترین طیف جرمی به یک طیف جرمی، از طریق جستجو در این دو پایگاه اطلاعاتی، به صورت تجربی تعیین شد. پیک به دست آمده برای هر طیف جرمی با ده مورد از مشابه‌ترین انتخاب‌های پایگاه‌های اطلاعاتی NIST و یا Wiley و با توجه به زمان نگهداری آنها، مقایسه و به صورت تجربی نام ترکیب مشخص شد.

گزارش آنالیز توسط نرم افزار MZA به صورت یک فایل متنی ذخیره و در یک صفحه گسترده نرم افزار MS-EXCEL وارد و مجدداً با فرمت \*.xls." ذخیره شد. در این نرم افزار با استفاده از رویه Pivot Table نقاط اوج دارای نسبت سیگنال به اختلال (signal to noise ratio) کمتر از ۲۰ و یا متغیر در تکرارهای همان تیمار، حذف

دستگاه تغليظ کننده حجم آن به ۸۰ میکرولیتر رسانده شد و به آن ۱۰ میکرولیتر pyridine و ۱۰ میکرولیتر MSTFA اضافه و به مدت ۳۰ دقیقه در دمای ۳۷ درجه سانتی‌گراد در داخل حمام آب گرم شیکردار قرار گرفت. در پایان، ۲٪ میکرولیتر از بخش غیرقطبی با نسبت ۱:۱ در داخل دستگاه GC تزریق شد. (Hamzehzarghani *et al.* 2007)

### آنالیز توسط GC/MS

دو دهم میکرولیتر از هر یک از فازهای آب- متانول و یا کلروفرم به صورت جداگانه در ورودی دستگاه Agilent 7000 Triple Quadrupole GC/MS در زمان تزریق دمای ورودی دستگاه، ۲۳۰ درجه سانتی‌گراد بود و از ستون مؤنی از نوع DB1 (غیر قطبی با ۱۰۰ درصد Dimethylpolysiloxane، ضخامت دیواره ۳۰ میلی‌متر، قطر داخلی ۲۵٪ میلی‌متر و طول ۴۴ متر) و گازی اثر هلیوم به عنوان حامل (سرعت جریان برابر با یک میلی لیتر در دقیقه) استفاده شد. دمای آوه در ۷۰ درجه سانتی‌گراد و به مدت ۵ دقیقه ثابت ماند و سپس به ازای هر دقیقه ۵ درجه سانتی‌گراد به دمای آن اضافه و پس از رسیدن به دمای ۳۱۰ درجه سانتی‌گراد، یک دقیقه در این دما ثابت ماند. پس از یونیزه شدن گاز، دامنه ۴۵ تا ۶۰۰ جرم بر یون (بار الکترونیکی) (m/z) توسط واکاو Triple Quadrupole تشخیص داده شد.

### تعیین پروفیل متابولیتی

داده‌های خروجی از دستگاه GC/MS به صورت فایل‌هایی با فرمت "d.\*" بودند که توسط نرم‌افزار msConvert (ProteoWizard Library, Version 3.0.4309) program

بیست روز پس از مایه‌زنی گیاهان ۳-۴ برجی رقم راتگرز گوجه‌فرنگی با واریانت ملایم PSTVd، به تدریج علایم در گیاهان مایه‌زنی شده با ویروئید نمایان شد. علایم مشاهده شده شامل کوتولگی، روخشمی و بد شکلی برگ و رشد جوانه‌های جانبی بود (شکل A-۱ تا D). وجود ویروئید در گیاهان مایه‌زنی شده، پس از انجام آزمون زنجیره‌ای پلیمراز و با رویت باند ویروئیدی با اندازه حدود ۳۶۰ جفت باز، تأیید شد (شکل E-۱) و انجام تعیین ترادف نیز صحّت توالی تکثیر شده را نشان داد.

عملیات استخراج متابولیت از برگ گیاهان گوجه‌فرنگی انجام و ۰/۲ میکرولیتر از فازهای قطبی و غیر قطبی GC/MS متابولیت‌ها (به صورت مجزا) توسط دستگاه بررسی شد. پس از تصحیح اختلالات موجود در پس زمینه و تغییرات تدریجی اشتباه در کروماتوگرام‌ها و خط پایه حدود ۶۰۰ پیک شناسایی شد که حدود ۴۵۰ پیک دارای نسبت سیگنال به خطای بیش از ۲۰ بودند و در تحلیل‌های آماری مورد استفاده قرار گرفتند. نتیجه تجزیه و تحلیل آماری به صورت لیستی از ۴۰ متابولیت متفاوت بین گیاهان شاهد و آلوده، ذخیره گردید (جدول ۱). این لیست شامل ده قند، چهار ترکیب الکلی، سه کربوهیدرات و یا مشتقان آن، دو اسید چرب، دو ترپنoid، دو آلکان، دو ترکیب آروماتیک، یک کربوکسیلات، یک گلیکولپید، یک اسید نوکلئیک، یک استروئید، یک ویتامین، یک ترکیب ارگانیک و نه ترکیب با گروه نامشخص است. از این تعداد ۲۷ متابولیت ۲ برابر یا بیشتر تغییر کردند (متabolیت‌های پر رنگ شده در جدول ۱).

آنالیزهای انجام شده توسط نرم افزار Pathway Tools 17.1 (Caspi *et al.* 2012) نشان داد که ۱۱ متابولیت از ۴۰ متابولیت شناسایی شده در این تحقیق، در ۱۴ مسیر از ۸۱۹ مسیر معرفی شده برای گوجه‌فرنگی

شدند. پروفیل متابولیت‌های نمونه شامل نام‌ها، زمان‌های نگهداری و مساحت زیر هر یک از نقاط اوج (مقدار هر متابولیت نسبت به مجموع یون ورودی) بود. در نهایت مقایسه فراوانی نسبی هر پیک بین نمونه‌های مختلف با تقسیم آنها بر فراوانی استانداردهای داخلی، تغییر مقیاس داده شد و برای تجزیه و تحلیل‌های مختلف مورد استفاده قرار گرفت. سپس متابولیت‌های تکراری و غیر تکراری در تیمارهای مختلف به همراه سایر مشخصات، به ترتیب جهت انجام آنالیزهای کمی و کیفی از هم جدا و در فایل‌های جداگانه ذخیره شدند.

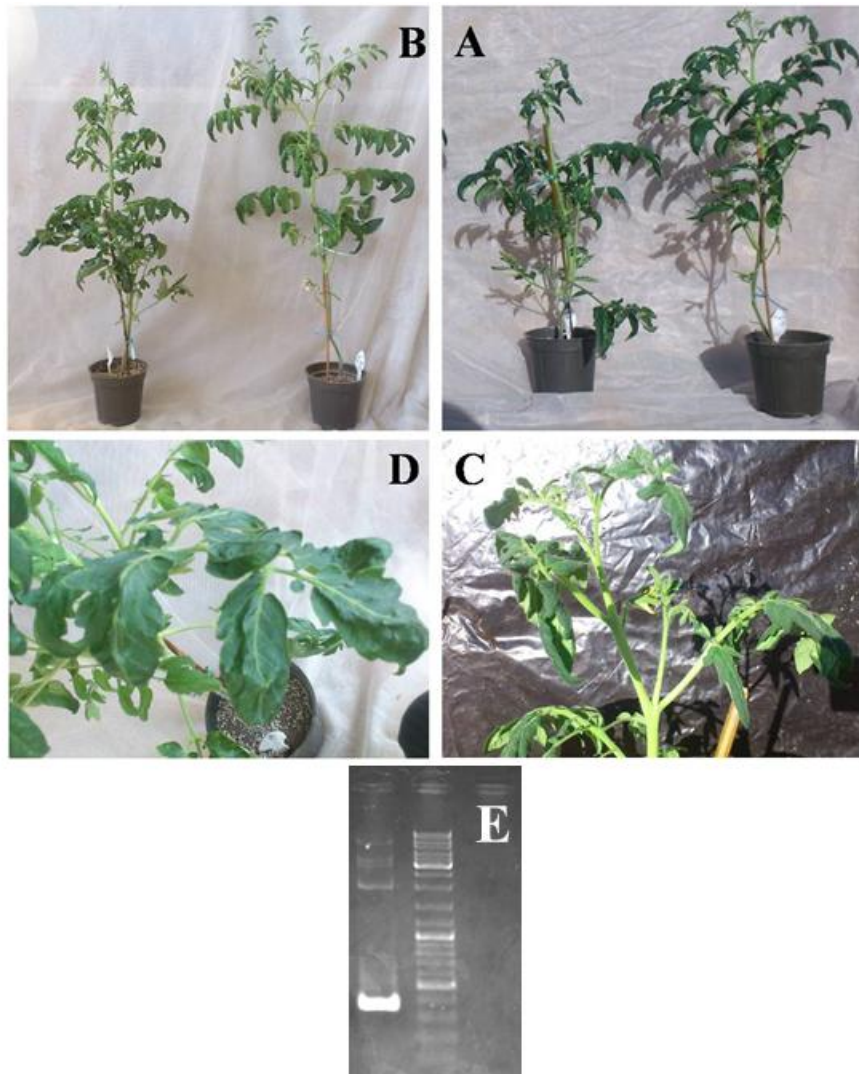
داده‌های به دست آمده از فراوانی پروفیل متابولیتی با استفاده از روش GLM نرم‌افزار SAS (SAS Institute Inc., 1999) و با در نظر گرفتن معنی‌داری در سطح ۰/۲، تحت تجزیه واریانس (ANOVA) قرار گرفتند. متابولیت‌های کمی دارای تفاوت معنی‌دار آماری به همراه متابولیت‌های کیفی، جهت بررسی‌های بعدی به مرحله بعد راه یافتند.

در آخرین مرحله، با استفاده از نرم افزار Pathway Tools 17.1 (Caspi *et al.* 2012)، مسیرهای مرتبط با متابولیت‌های دارای تغییرات معنی‌دار، مشخص گردید و داده‌های گزارش شده توسط آونز و همکاران (Owens *et al.* 2012) از فایل ضمیمه مقاله ایشان، اخذ و از طریق وارد کردن شماره مرتبط با منبع اطلاعاتی آرابیدوپسیس (Arabidopsis Information Resource, TAIR) در نرم افزار MetaCyc DB تطابق نتایج این دو مطالعه، بررسی شد.

## نتایج

phosphate utilization in cell cutin biosynthesis I و wall regeneration که پنج مسیر دخیل در ساخت موم و glutathione redox reactions I کوتین هستند، مسیر

وجود دارد (جدول ۲). مسیرهای متابولیکی زیر با کاهش acyl-CoA hydrolysis فعالیت روبرو بودند: مسیرهای fatty acid  $\omega$ -oxidation I alkane biosynthesis II



شکل ۱. علایم آلودگی به واریانت ملایم PSTV (A-D) و نقوش الکتروفورزی قطعات تکثیر شده ویروئید (E) در رقم راتنگرز گوجه‌فرنگی. A و B: علایم کوتولگی، به ترتیب ۲۸ و ۵۰ روز پس از مایه‌زنی با PSTVd (راست، سالم و چپ، آلوده). C: روخشمی برگ و رشد جوانه‌های جانبی ۲۸ روز پس از مایه‌زنی با PSTVd. D: بد شکلی برگ ۵۰ روز پس از مایه‌زنی با واریانت ملایم PSTVd: راهک سمت چپ، گیاه آلوده که قطعه‌ای در حدود ۳۶۰ جفت باز را نشان داده است. راهک وسط = مارکر. راهک سمت راست = شاهد سالم.

Fig. 1. Symptoms of PSTVd-mild variant (A-D) and electrophoretic patterns of RT-PCR amplified viroid fragments (E) on tomato cultivar 'Rugers'. A and B: Stunting following inoculation with PSTVd 28 and 50 days post inoculation, respectively (right: healthy control, left: infected). C: Leaf epinasty and growth of dormant axillary buds 28 dpi. D: Leaf rugosity 28 dpi. E: Left lane, Infected sample showing specific band of ~360 bp. Middle lane, DNA ladder. Right lane, healthy control.

tetrahydroxyxanthone biosynthesis I, biosynthesis I  
ascorbate glutathione cycle (from benzoate) مسیرهای تخریب کلروفیل  
indole-3-acetate مسیرهای متابولیکی زیر با افزایش فعالیت روبرو بودند:  
volatile benzenoid biosynthesis I و activation II مسیرهای تولید ترکیبات دفاعی شامل terminal olefins  
جدول ۱. لیست متابولیت‌های گوجه فرنگی رقم راتگرز که مقدار آنها ( $^{+0}$ ) به علت آلودگی به واریانت ملایم PSTVd تغییرات معنی‌دار (P $\leq$ 0.20) یافته است.

**Table 1. List of metabolites with abundance (10<sup>+6</sup>) that varied significantly (P $\leq$ 0.20) in mild PSTVd infected- tomato cultivar 'Rutgers'.**

شماره No.	نام متابولیت Metabolite Name	زمان بازداری Retention Time	فاز قطبی یا غیر قطبی Polar or Non-Polar Phase	گروه Group	ماهیه زنی شده با بافر Inoculated With Sample Buffer	ماهیه زنی شده با ویروئید Inoculated With Viroid
۱	Turanose (S)	47.789	P	carbohydrate	3.48	1.69
۲	1-o-methyl- $\square$ -d-glucuronate (S)	26.458	P	carbohydrate derivative	1.73	0.57
۳	Methyl- $\square$ -d-galactoside (S)	31.943	P	carbohydrate derivative	13.07	2.54
۴	an 11,13-eicosadienoate (HS)	39.74	NP	carboxylate	3.01	1.98
۵	Neo-inositol (S)	34.254	P	cyclic alcohol	10.67	6.96
۶	Myo-inositol (HS)	37.804	P	cyclic alcohol	1945.00	1215.00
۷	Trans,octacis-decaprenylphospho- $\beta$ -D-erythro-pentofuranosid-2-ulose (BS)	26.318	P	glycolipid	0.90	0.46
۸	Hexadecanol (S)	30.086	NP	long-chain alcohol	0.00	0.92
۹	Palmitate (HS)	35.754	NP	long-chain fatty acid	16.17	41.49
۱۰	Laurate (BS)	28.481	NP	medium-chain fatty acid	0.00	0.48
۱۱	dimp (HS)	33.129	P	nucleic acid component	14.29	7.56
۱۲	Cholesterol (HS)	52.036	NP	steroid	0.58	1.06
۱۳	Galactosamine (BS)	31.429	P	sugar	14.14	1.88
۱۴	D-arabinopyranose (S)	35.336	P	sugar	33.67	22.08
۱۵	DL-glyceraldehyde (HS)	35.153	P	sugar	34.34	19.89
۱۶	2'-deoxyribose (S)	30.836	P	sugar	3.36	0.00
۱۷	$\square$ -D-fructofuranose (BS)	31.568	P	sugar	0.55	0.00
۱۸	Galactose, 2-(acetylamino) (HS)	32.318	P	sugar	62.03	0.00
۱۹	D-Glucose (BS)	30.103	P	sugar	3.51	0.91
۲۰	L-mannose (S)	35.841	P	sugar	6.83	5.07
۲۱	D-fructose (HS)	32.65	P	sugar	31.00	7.39

شماره No.	نام متابولیت Metabolite Name	زمان بازداری Retention Time	فاز قطبی یا غیر قطبی Polar or Non-Polar Phase	گروه Group	ماهیه زنی شده با ویروئید Inoculated With Viroid	ماهیه زنی شده با بافر Inoculated With Sample Buffer
۲۲	D-galactose (S)	34.089	P	sugar	58.67	9.09
۲۳	Tuberculostearate (BS)	46.385	NP	terpenoid	0.00	0.34
۲۴	Viridiflorene (BS)	44.527	NP	terpenoid	0.00	0.21
۲۵	L-ascorbate (HS)	33.888	P	vitamin	2.73	1.16
۲۶	Phytol (S)	32.371	NP	alcohol	1.37	24.97
۲۷	Octadecane (HS)	30.408	NP	alkane	1.91	2.90
۲۸	Hexadecane (BS)	31.115	NP	alkane	0.22	0.61
۲۹	Benzoate (S)	17.746	NP	aromatic compound	0.00	1.80
۳۰	3-methylbenzaldehyde (BS)	20.048	NP	aromatic compound	0.00	1.12
۳۱	Cyclohex-2-enone (BS)	27.583	NP	organic compound	0.00	0.20
۳۲	Ht-2-toxin derivative (BS)	38.309	NP	N/A	0.00	0.50
۳۳	(+)-5-[(tert-butylamino)-2'-hydroxypropoxy]-3,4-dihydro-1(2H)-naphthalenone (S)	26.153	NP	N/A	0.41	0.31
۳۴	Salicylamide (HS)	6.322	NP	N/A	2.37	22.14
۳۵	D-Erythro-Pentitol (S)	26.318	P	N/A	2.83	1.68
۳۶	Bacimethrin (HS)	18.714	P	N/A	9.37	1.63
۳۷	Pre-vitamin D3 (BS)	26.449	NP	N/A	0.00	0.41
۳۸	Tetrapentacontane (HS)	51.294	NP	N/A	0.71	0.35
۳۹	Octadecane, 1-chloro- (BS)	19.229	NP	N/A	1.39	1.10
۴۰	Decamethylhexasilinane-1,3-diol (HS)	31.028	P	N/A	15.55	4.97

: N/A بدون مصداق

متابولیت‌های جدا شده از فازهای قطبی و غیر قطبی به ترتیب با P و NP نشان داده شده‌اند.

سطح معنی‌داری آماری بر اساس ANOVA: مقادیر با  $P \leq 0.01$  خیلی معنی‌دار (HS)،  $P \leq 0.05$  معنی‌دار (S) و  $P \leq 0.20$  (BS) هستند.

N/A: not applicable.

Extracted metabolites from polar and non-polar phases shown by P and NP, respectively.

Significance level based on univariate ANOVA: values  $P \leq 0.01$  are highly significant (HS),  $P \leq 0.05$  is significant (S),  $P \leq 0.20$  is of borderline significance (BS).

مطالعات متعددی، تغییرات مورفولوژیکی و سیتو‌لوزیکی ناشی از آلودگی‌های ویروئیدی را بررسی کرده‌اند (Semancik & Conejero-Tomas 1987). در سطح

یک مسیر تولید انرژی (مسیر III sucrose degradation III).

بحث

مرتبط با دیواره سلولی در گوجه‌فرنگی‌های آلوود به PSTVd افزایش می‌یابد (Owens *et al.* 2012). اکستنسین‌ها (Extensins)، گلیکوپروتئین‌های غنی از هیدروکسی پرولین هستند که یکی از گروه پروتئین‌های

جدول ۲. مسیرهایی از گوجه‌فرنگی که با متابولیت‌های تغییر کرده (جدول ۱) ارتباط دارند.<sup>↑, ↓</sup>

Table 2. Tomato pathways that were related to altered metabolites (Table 1).

تغییرات ایجاد شده Accrued d Changes	نام مسیر Pathway Name
(↓) Palmitate	acyl-CoA hydrolysis*
(↓) Laurate	
(↓) Palmitate	alkane biosynthesis II
(↑) L-ascorbate	ascorbate glutathione cycle
(↓) Phytol	chlorophyll <i>a</i> degradation I*
(↓) Hexadecanol	
(↓) <i>Myo-inositol</i>	
(↓) <i>Neo-inositol</i>	cutin biosynthesis
(↑↑) Palmitate	
(↓) Phytol	
(↑↑) L-ascorbate	
ولی در مقابل، تولید پیش ماده مصرف آن کم شده است (Owens <i>et al.</i> 2012)	ethylene biosynthesis I (plants)*
(↓) Palmitate	fatty acid $\square$ -oxidation I*
(↓) Hexadecanol	
(↓) Viridiflorene	glutathione redox reactions I
(↑) $\square$ -D-galactose	
(↑) D-glucose	indole-3-acetate activation II
(↓) Hexadecanol	
(↓) <i>Myo-inositol</i>	
(↓) <i>Neo-inositol</i>	phosphate utilization in cell wall regeneration
(↓) Phytol	
(↑) $\square$ -D-fructofuranose	
(↑) D-glucose	sucrose degradation III*
(↑↑) Palmitate	
(↑↑) Benzoate	terminal olefins biosynthesis I tetrahydroxyxanthone biosynthesis (from benzoate)*

تغییرات ایجاد شده Accrued Changes	نام مسیر Pathway Name
(↑↑) Benzoate	volatile benzenoid biosynthesis I (ester formation)

\*: نتایجی که با مطالعات آونز و همکاران تشابه دارد (Owens *et al.* 2012).

↓: کاهش تولید، ↑: افزایش تولید، ↑↑: افزایش مصرف.

\*: Results that were similar to those of Owens and colleagues (Owens *et al.* 2012).

↓: Decreased production, ↑: Increased production, ↑↑: Increased consumption.

biosynthesis II که به احتمال قوی به خاطر حساسیت رقم راتگرز رخ داده است.

تولید ترکیبات دفاعی گیاهی یکی از راهکارهای مقابله‌ی گیاهان با بیمارگرهای گیاهی است. از اولفین‌های Binder *et al.* 1975; Ney (terminal olefins) و Boland 1987 tetrahydroxylated xanthones (& Boland 1987) می‌توان به عنوان ترکیب‌های دفاعی مهمی نام برد که تولیدشان در گیاه پس از حمله بیمارگر، تحریک می‌گردند. فعالتر شدن مسیرهای tetrahydroxyxanthone biosynthesis I در گوجه‌فرنگی آلدود به واریانت ملایم PSTVd، احتمالاً نشانگر مقاومت گیاه از طریق این دو مسیر در برابر آلدگی ویروئیدی است. افزایش تولید ascorbate، به عنوان یکی از مهم‌ترین ترکیبات خشی کننده پراکسید هیدروژن، در مسیر ملایم PSTVd و راتگرز دیده شد. نکته قابل توجه، کاهش تولید ترپن‌وئید viridiflorene و الكل بلند زنجیر hexadecanol و بالطبع کاهش فعالیت مسیر glutathione redox reactions I (به عنوان مسیری برای مقابله با گونه‌های فعال نیتروژن و اکسیژن) در برهمکنش مورد مطالعه است.

تشکیل دهنده دیواره سلولی گیاهان بوده و پس از ترشح به درون دیواره سلولی، از طریق تشکیل باندهای درون و بیرون مولکولی، به صورت غیر محلول در می‌آیند (Roberts & Shirsat 2006). نشان داده شده است که تولید اکستنسین‌ها به وسیله طیف وسیعی از تنش‌ها، مثل زخم شدن، آلدگی توسط بیمارگر و تیمار به وسیله مواد شیمیایی تحریک کننده دفاع گیاه، القامی گردد (Merkouropoulos & Shirsat 2003). افزایش مقدار اکستنسین، بهبود زخم و تشکیل یک سد فیزیکی در مقابل حمله‌ی بیمارگر و جلوگیری از پخش سیستمیک آلدگی را پیشنهاد می‌کند (Tessitori *et al.* 2007). ایتا و همکاران نشان دادند که بیان چندین پروتئین دیواره سلولی و Cell wall protein, Glycine rich protein (شامل b-1,3-glucanase) به صورت معنی‌داری در گوجه‌فرنگی آلدود به PSTVd افزایش می‌یابد (Itaya *et al.* 2002). در این مطالعه، کاهش در چندین مسیر متابولیکی مرتبط با ساخت و بیوسنتز موم و کوتین شامل مسیرهای fatty acid oxidation و acyl-CoA hydrolysis اتفاق افتاده است که نشان دهنده تقویت دیواره‌های سلولی گیاه، پس از آلدگی ویروئیدی است. همچنین کاهش در phosphate utilization in cell wall مسیرهای alkane cutin و biosynthesis regeneration

(Auxin response factors) متصل شده و مانع از بیان ژن‌های پاسخ اکسین شود. در این بررسی، مشخص شد که پیرو افزایش فعالیت مسیر indole-3-acetate activation II در رقم راتگرز گوجه فرنگی آلوده به واریانت ملایم ویروئید، افزایش می‌یابد که این تغییرات، کاهش غالیت انتها ای را نشان می‌دهد. علاوه بر این، مشخص شده است که طیف متنوعی از بیمارگرهای گیاهی مثل TMV (Culver & Padmanabhan 2007) پیامده‌ی اکسین و شروع بیماری هستند. از سوی دیگر در مورد ویروس پیچیدگی برگ کلم (CaLCuV = *Cabbage leaf curl virus*) (جمینی ویروسی که مثل PSTVd در هسته سلول آلوده همانندسازی می‌کند) نشان داده شده است که بیان اجزای مسیر پیامده‌ی اکسین (شامل TIR1) پس از آلودگی، افزایش می‌یابد (Ascencio-Ibáñez et al. 2008). آونزو و همکاران نیز نشان دادند که بیان سه ژن مهم در مسیر پیامده‌ی اکسین (IAA3/SHY2 ASK2 و IARI) پس از آلودگی ویروئیدی افزایش می‌یابد (Owens et al. 2012). در این تحقیق، کاهش مقدار benzoate احتمالاً به خاطر تبدیل آن به methylbenzoate می‌باشد که یکی از مهمترین پیامهای دفاعی هوا برد گیاه می‌باشد (Shulaev et al. 1997). از سوی دیگر مشخص گردید که مسیر volatile benzenoid biosynthesis I پس از آلودگی به PSTVd تحریک می‌گردد (جدول ۲) و یکی از ترکیب‌های مهم در این مسیر، سالیسیلیک اسید است که در همین مسیر به methylsalicylate (پیامی دفاعی و هوا برد) تبدیل می‌شود. یکی از مهمترین ترکیبات تنظیمی در پیامده‌ی سالیسیلیک اسید، NPR1 (پروتئینی که از طریق برهمنکنش با عوامل نسخه‌برداری ویژه، در تحریک

برگر و همکاران (Berger et al. 2007) نشان دادند که کاهش فتوستتر و افزایش نیاز همزمان به قندهای ساده در برهمنکنش بیمارگر-گیاه، اغلب باعث تبدیل بافت‌های منبع به بافت‌های مصرف کننده (Sink) می‌گردد. یکی از شواهد رخداد این وضعیت، افزایش فعالیت آنزیم اینورتاز دیواره سلولی (Cell wall invertase) است. این آنزیم با فعالیت خارج سلولی خود، شکسته شدن سوکروز به گلوکز و فروکتوز را باعث می‌شود (Roitsch et al. 2003). در این مطالعه نیز میزان قندهای فروکتوز و گلوکز پس از رخداد آلودگی به شدت افزایش یافته است. این موضوع در مورد برهمنکنش‌های متعدد دیگری همچون ویروس موزاییک توتون-توتون، زنگ سیاه گندم- گندم و *Arabidopsis candida* رسیده است (Wright et al. 1995; Chou et al. 2000; Herbers et al. 2000; Scharte et al. 2005) که نشان دهنده آن است که این تغییر، پاسخی عمومی به طیف وسیعی از بیمارگرهای گیاهی است (Berger et al. 2007). البته باید خاطر نشان کرد که قندها علاوه بر اینکه در رشد، تنفس نوری و یا ذخیره انرژی نقش دارند، می‌توانند به عنوان پیام‌های تنظیمی بیان ژن‌ها نیز عمل کنند (Koch 1996). به عنوان مثال در گزارش‌هایی، کاهش بیان ژن‌های فتوستتر به تجمع هگزروزها ربط داده شده است (Scholes et al. 1994; Chou et al. 2000; Pego et al. 2000; Berger et al. 2004) البته نتیجه این رویدادها هنوز به خوبی درک نشده است.

اکسین باعث تخریب گروهی از عوامل بازدارنده نسخه‌برداری با نام پروتئین‌های (Aux/IAA auxin/indole-3-acetic acid پروتئین Aux/IAA قادر است به عوامل پاسخ اکسین

مرکبات (Brown & Lee 1993) و کپک خاکستری (*B. cinerea*) در گوجه‌فرنگی، فلفل، خیار، سویا، رز و میخک را افزایش می‌دهد (Boller 1991).

ارتباط احتمالی بیماری ویروئیدی و اتیلن در CEVd گوجه‌فرنگی و گیاه *Gynura aurantiaca* آلووده به مشخص گردیده (Conejero & Granell 1986) و نشان داده شده است که پس از رخداد آلوودگی توسط CEVd، میزان اتیلن و پیش سازه‌ایش ((ACC) aminocyclopropane-1-carboxylic acid) (مثل افزایش می‌یابد (Belles & Conejero 1989). از سوی دیگر، تیمار گوجه‌فرنگی رقم پیرسون (Pearson) با اتفاق ترکیب آزاد کننده اتیلن)، باعث کوتولگی و تحریک پروتئین‌های مرتبط با بیماری زایی در این گیاه می‌گردد (Xin-xi et al. 2011). البته در تأیید نتایج این مطالعه باستثنی اشاره کرد که بروز علایم کوتولگی و روخشمی برگ، تخریب مسیرهای بیوسنتر و یا پیامدهای اتیلن و یا جیبریلیک اسید را پیشنهاد می‌کند. البته گزارش آونز و همکاران مشابه با نتایج تحقیق حاضر و برخلاف نتایج گرفته شده در مورد TCDVd و CEVd، نشان داد که میزان ACC در راتگرز آلووده به PSTVd کاهش یافته است (Owens et al. 2012).

انواع متنوعی از تنش‌های زنده و غیر زنده مثل حمله بیمارگر و یا نور زیاد (Karpinski et al. 2003) قادر به آسیب رساندن به بافت‌های گیاهی هستند. این مسئله ممکن است باعث آزادسازی کلروفیل از غشاهای تیلاکوئیدی گردد. در چنین وضعیتی برای جلوگیری از آسیب سلولی ناشی از فعلیت فتودینامیک این مولکول‌ها، لازم است کلروفیل‌ها به سرعت تجزیه شوند (Takamiya et al. 2000). پس، ناتوانی در تجزیه کلروفیل ممکن است باعث افزایش مقدار گونه‌های فعال

تولید پروتئین‌های مرتبط با بیماری زایی نقش اساسی دارد) است. مشخص شده است که میزان نسخه‌برداری NPR1 در رقم راتگرز گوجه‌فرنگی آلووده به PSTVd افزایش می‌یابد (Owens et al. 2012). جالب است که آلوودگی گوجه‌فرنگی به PSTVd باعث تحریک تعدادی از ژن‌های خانواده *Cab* (Cab1, Cab2, Cab3, 3a, 9, ) می‌گردد (Itaya et al. 2002) که تیمار با سالیسیلیک اسید باعث تحریک بیان ژن‌های Schenk et al. (Cab) می‌گردد (2000).

در این مطالعه، نیز نشان داده شد که فعالیت مسیر بیوسنتر اتیلن (Ethylene biosynthesis I) در برهمکنش مورد بررسی کاهش یافته است. اتیلن نقش مهمی در جلوگیری از رشد و تحریک پیری برگ و گل و پاسخ به عوامل خارجی داشته و این کار را از طریق تنظیم فرآیندهای متابولیکی مختلف انجام می‌دهد (Broekaert et al. 2006; Kosugi et al. 2000) اتیلن در برهمکنش گیاه- بیمارگر، پیچیده است و به گونه گیاه و بیمارگر وابستگی کامل دارد. اتیلن همچنین باعث افزایش نفوذپذیری غشاهای سلولی می‌شود که معمولی ترین پیامد عفونت‌های است (Agrios 2005). تیمار گیاه با اتیلن تعداد زیادی از مولکول‌های مرتبط با دفاع، شامل پروتئین‌های مرتبط با بیماری زایی (PR) را فعال کرده و مقاومت به *Botrytis cinerea* در *Erysiphe necator* (Diaz et al. 2002) و TMV (Belhadj et al. 2008) را باعث می‌شود. هر چند که نشان داده شده است که اتیلن حساسیت به *Penicillium italicum* و *Diplodia natalensis*

در این تحقیق، مشخص شد که آلودگی ویروئیدی منجر به تغییر در دیواره سلولی میزبان می‌شود. در این برهمکنش سه مسیر از مسیرهای دخیل در تقویت دیواره سلولی تضعیف شده و در مقابل، دو مسیر دیگر تقویت می‌گردند. دیده شد که به دنبال پیشرفت آلودگی ویروئیدی، سه مسیر تولید ترکیب‌های دفاعی، نیز در گیاه فعال‌تر می‌شوند ولی یک مسیر تولید این ترکیبات تضعیف می‌شود. افزایش شدید مقدار گلوکز و فروکتوز و تحریک مسیر تجزیه سوکروز، نیز پاسخی رایج به عوامل بیمارگر گیاهی است که توسط ویروئید نیز تحریک شده است. رخداد کوتولگی و رشد جوانه‌های جانبی در گیاهان بیمار را می‌توان به تغییرات مسیر مرتبط با هورمون اکسین گزارش شده در این تحقیق ربط داد. یکی از دیگر راه‌های مورد اشاره در این تحقیق برای بیماری زایی ویروئیدها، سرکوب مسیرهای مرتبط با تولید آنزیم بتا-گالاكتوسیداز است. با توجه به این مطالب می‌توان گفت که مطالعه حاضر، دید ما را نسبت به تغییرات متابولیکی و مسیرهای تحریک شده در بیماری زایی ویروئیدها بهبود بخشیده و نحوه بیماری زایی ویروئیدها و دفع گیاه را مشخص‌تر نموده است. به خاطر پیچیدگی و تنوع در اندازه و مقدار متابولیت‌ها، تعیین نوع و مقدار همه متابولیت‌های یک سیستم بیولوژیکی معضلی بزرگ و غیر قابل حل است (Dunn 2008). تاکنون هیچ روش استخراج و یا روش تجزیه‌ای واحدی که قادر به ردیابی هر تک متابولیتی باشد، معرفی نشده است (Hall 2006). البته انجام آزمایش‌های مشابه در بازه‌های زمانی متنوع (تعیین دینامیک زمانی متابولوم) و استخراج متابولیت از برگ‌های مختلف و استفاده همزمان از چند روش استخراج و یا چند روش تجزیه‌ای برای هر نمونه به تکمیل هر چه

اکسیژن شود. تا حدی که سیستم‌های آنتی‌اکسیدانتی ظرفیت سمزدایی آن را نداشته باشند. این مولکول‌های سمی تولید شده قادرند به اندامک‌های سلولی صدمه وارد کرده و یا به عنوان پیام‌های سلولی ایفای نقش کنند (Foyer *et al.* 1994; Wojtaszek 1997). در این مطالعه کاهش فعالیت مسیر chlorophyll a degradation I نیز در برهمکنش PSTVd- رقم حساس گوجه‌فرنگی، افزایش مقدار گونه‌های اکسیژن فعال را در بی‌داشته است. البته این مسیر نیز همانند مسیر ساخت اتیلن، در تحریک Matile Hortensteiner 2006 پیری برگ دخالت دارد (Matile *et al.* 1999, 2000 Pruzinska *et al.* 2005 Matile *et al.* 1999, 2000 Roca & Minguez-Mosquera 2003) و پیشتر نیز در مطالعه آونز و همکاران مدارکی دال بر کاهش بیان آنزیم مرتبط با آن ارائه شده است (Owens *et al.* 2012). ارتباط تغییر واقع شده در این مسیر با بیماری زایی ویروئیدها به خوبی مشخص نمی‌باشد. نتایج مطالعه حاضر حاکی از افزایش بتا-گالاكتوسید (احتمالاً به خاطر کاهش بتا-گالاكتوسیدازها) است (جدول ۱). بتا-گالاكتوسیدازها خانواده بزرگی از آنزیم‌های تجزیه‌کننده بتا-گالاكتوسیدها هستند و نقش عمده در رسیدن میوه و همچنین سازگاری گیاه به تنش‌های مختلف را دارا هستند. یکی از واکنش‌های آراییدوپسیس به تنش سرمایی و یا شوری، افزایش بیان این آنزیم است (Kreps *et al.* 2002) و این در حالی است که مواجهه نارنج سه برگ‌چهای و نارنگی آتشو با سرما، بیان بتا-گالاكتوسیدازها را کم می‌کند (Lang *et al.* 2005). دلیل احتمالی افزایش بتا-گالاكتوسید و کاهش بتا-گالاكتوسیداز را می‌توان به ناتوانی گیاه در افزایش این آنزیم در جهت مقابله با تنش حاصل از آلودگی ویروئیدی و یا توانایی احتمالی ویروئید در سرکوب این واکنش دفاعی گیاه حساس ریط داد.

بیشتر اطلاعات در مورد این عوامل بیمارگر کمک خواهد

کرد.

### منابع

جهت ملاحظه به صفحات (113-118) متن انگلیسی  
مراجعه شود.

### سپاسگزاری

نویسنده‌گان مقاله از بنیاد ملی نخبگان و شورای قطب‌های علمی به خاطر حمایت مالی و معنوی در انجام این تحقیقات سپاسگزاری می‌کنند.